

Pulse Plasma Assisted Atomic Layer deposition 장치의 제작과 특성

김용태(책임저자)*, 박지호*, 김희준**, 이창우***

*한국과학기술연구원, **토요하시과학기술대학, ***국민대학교

초록

펄스 플라즈마 원자층 증착 방법 (PPALD : Pulse Plasma Atomic Layer Deposition)을 이용하여 삼원계 박막인 W-C-N 박막을 ILD layer인 TEOS 위에 제조하였다. 실험은 WF₆, N₂, CH₄ 가스의 순차적 주입과 N₂를 이용한 퍼징으로 이루어지며 N₂와 CH₄ 가스 주입 시에 pulse plasma가 적용되었다. 일반적인 ALD 증착 기구를 그대로 따르는 PPALD 방법에 의해 제조된 W-C-N 박막은 H₂/N₂ 플라즈마 초기 표면 처리에 의해 incubation cycles 없이 초기 cycles부터 0.2 nm/cycle의 일정한 증착율을 가지고 증착되므로 정확한 두께의 control이 가능하며 300 μΩ-cm의 매우 낮은 비저항 특성을 나타내었다.

1. 서론

반도체 소자의 초고집적화와 더불어 초고속화를 실현하기 위해 새로운 공정 기술과 새로운 재료의 개발이 요구되어지고 있다. 특히 반도체 소자가 고집적화가 될수록 RC delay time이라는 극복해야 할 과제에 부딪히게 되었다. 여기에 기존의 배선 재료로서 알루미늄보다 여러가지 특성이 우수한 구리에 많은 관심이 집중 되어지고 있다. 그러나 구리는 낮은 온도에서도 Si 또는 SiO₂ 와 상호 확산 반응을 하기 때문에 이를 효과적으로 막으며, 또한 기본적으로 소자의 특성에 영향을 덜 미치는 얇고 우수한 확산 방지막이 필요로 요구 되어 진다 [1-2]. 특히 확산 방지막으로서 성장된 물질이 비정질 또는 나노 결정의 형태일 때 구리의 확산을 효과적으로 방지한다. 이를 위해 TiN, TaN, W-N, W-C, W-C-N 과 같은 질화막을 증착하기 위한 원자층 증착 방법(ALD : Atomic Layer Deposition)에 대해 많은 연구가 행해지고 있다. ALD-TiN 의 경우는 매우 낮은 비저항 (120~200 μΩ-cm)을 가지나 column grain 을 통한 Cu 의 확산이 500 °C의 온도에서도 일어나기 때문에 구리 확산 방지막으로서는 적당하지 않으며[2-3], ALD-TaN 의 경우도 350~900 μΩ-cm의 비교적 낮은 비저항을 가지나 열적 안정성이 구리 확산을 방지하기에 충분하지 않다 [4-5]. 최근 Bystrova 에 의해 480 μΩ-cm의 낮은 비저항을 가지는 ALD-W_{1.5}N 이 발표되었으나 500 °C의 온도에서도 구리의 확산을 방지할 수가 없었다 [6]. 또한 ('BuN)₂(Me₂N)₂W B(C₂H₅)₃ 와 같은 Metal-organic source 를 ALD 에 적용하여 W-N, W-C, W-C-N 박막이 많이 연구되어지고 있다 [7-9]. ALD-WCN 의 경우 비저항이 300~900 μΩ-cm이며, ALD-WC 의 경우는 295 μΩ-cm의 낮은 비저항을 가지나 열적 안정성이 확보되지 않았고, ALD-WN 의 경우는 비저항이 4500 μΩ-cm로 매우 높다. 반면에 이전에 우리가 발표한 ALD-WN 의 경우 3000 μΩ-cm로 비저항을

다소 낮추었으며 650 °C까지 구리에 대한 열적 안정성을 확보하였다 [10]. 그러므로 본 연구에서는 WF₆-CH₄-N₂ gas system에 플라즈마를 적용하여 보다 낮은 비저항과 보다 뛰어난 특성을 가지는 ALD-WCN 박막을 제조하였고 플라즈마는 CH₄ 와 N₂의 주입 cycle 동안 적용되었다. 결과적으로 metal-organic source를 사용하지 않고 간단한 halid gas만을 사용하여 PPALD 방법에 의해 300 μΩ·cm의 낮은 비저항을 가지는 얇은 W-C-N 박막을 제조하였다. 증착 기구는 일반적인 ALD의 증착기구를 그대로 따라 가므로 정확한 두께의 control이 가능하였다.

2. 실험 방법

원자층 증착을 위해 사용된 PPALD 장비는 크게 source 공급 장치, 펄스 플라즈마 발생 장치, 증착 chamber, 공정압 조절 시스템, 배기 시스템, 자동 제어 시스템으로 구성되어 있다. 이 장비의 개략도는 그림 1에 나타내었고, 펄스 플라즈마를 발생시키기 위한 회로도는 그림 2에 도시하였다. chamber 안으로 주입되는 두 개의 가스 라인은 main 가스인 WF₆ 와 다른 전구체를 분리하여 잔류 가스들이 기상에서 반응하는 것을 최소한 억제하였다. 가스 잔류 시간을 줄이기 위해 chamber의 부피는 최소로 하였고, 25l /sec의 펌핑 용량을 가지는 Edward E2M80 을 사용하였다. 히터는 2인치 wafe를 장착할 수 있는 것으로 450 °C까지 온도를 증가시킬 수 있다. 또한 정확한 가스 주입을 위하여 computer를 이용하여 벨브와 가스 흐름을 제어하였다. 원자층 증착 실험으로서 W-C-N 박막을 증착하고자 하였다. 먼저 P-type (100) Si wafe의 native oxide를 희석된 HF에 의해 제거한 뒤 PECVD 방법으로 200nm 두께의 TEOS를 ILD Layer로서 증착하였다. 증착된 TEOS 위에 H₂/N₂ 플라즈마를 이용하여 350 °C에서 30 분간 초기 표면 처리를

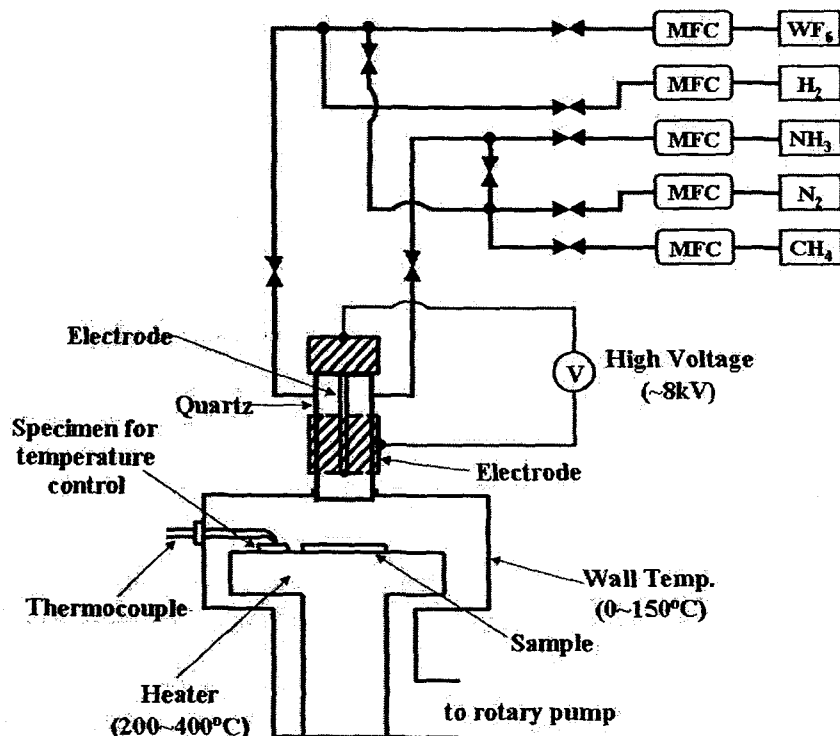


그림 1. PPALD 장비 구조도

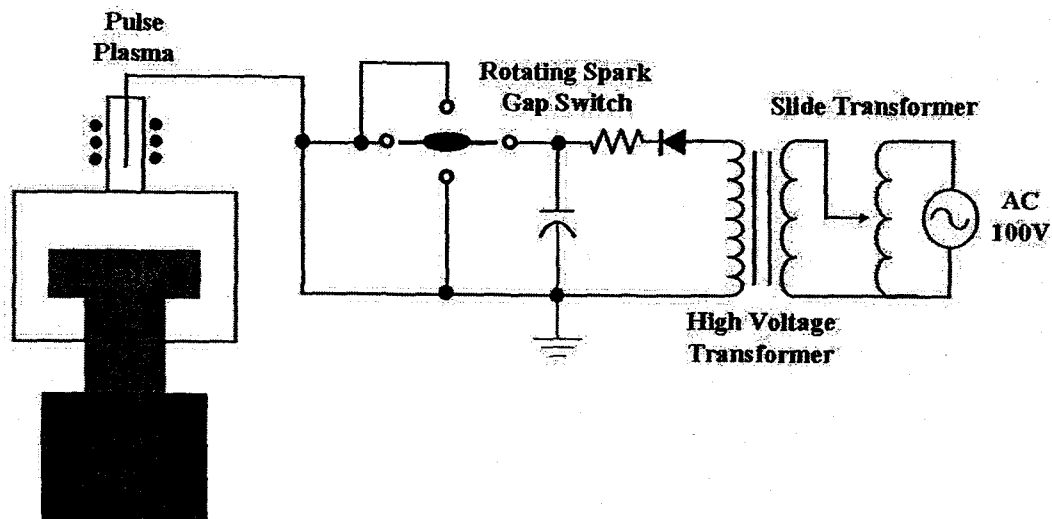


그림 2. PPALD 고전압 발생 장치 회로도

하였다. 그런 다음 PPALD 방법을 이용하여 W-C-N 박막을 증착하였다. 사용된 전구체는 WF_6 , CH_4 , N_2 , H_2 가스이며 PPALD process 는 다음과 같이 행하여졌다. 먼저 WF_6 가스를 1 초간 주입하고 각각 5 초간의 진공, N_2 주입, 진공으로 이루어진 purging process 를 행하였다. 다음으로 CH_4 가스를 주입하였으며 또한 purging process 를 수행하였고, 마지막으로 N_2 가스를 주입하였다. CH_4 와 N_2 가스의 주입 cycle 동안에는 8kV peak-to-peak bias 를 적용하여 플라즈마를 발생시켰다. 이것이 1 cycle이며, cycle 을 연속적으로 반복함으로써 원하는 두께의 박막을 얻을 수 있었다. 여기에서, N_2 가스를 NH_3 로 대체하여 실험을 행하여 보았다. 표면 온도는 350 °C이고 working pressure 는 70~200 mTorr 이었다.

3. 실험결과 및 고찰

AES analysis 에 의해 $\text{WF}_6\text{-CH}_4\text{-N}_2$ system 과 $\text{WF}_6\text{-CH}_4\text{-NH}_3$ system 을 비교해 보았다. 분석된 W-C-N 박막의 조성은 그림 2 (a)의 경우 W:C:N 이 72:15:10 이며 (b)의 경우 65:15:20 이었다. $\text{WF}_6\text{-CH}_4\text{-N}_2$ system 을 사용한 경우 $\text{WF}_6\text{-CH}_4\text{-NH}_3$ system 사용한 경우보다 W atom 의 양이 증가하였고, 뿐만 아니라 N atom 양의 감소와 C atom 양의 증가를 초래하였다. 이것은 비저항의 감소를 의미하며 실제로 $\text{WF}_6\text{-CH}_4\text{-N}_2$ system 에 의해 제조된 W-C-N 박막의 비저항은 $\text{WF}_6\text{-CH}_4\text{-NH}_3$ system 에 의한 박막의 비저항 보다 훨씬 낮은 $300 \mu\Omega\text{-cm}$ 이었고, 박막의 adhesion strength 또한 향상되었다. 그러므로 플라즈마 상태에서 N_2 가스는 NH_3 가스보다 덜 활성적인 N atoms 을 제공함을 알 수 있다. 제조된 W-C-N 박막이 일반적인 ALD mechanism 을 그대로 따라가는지를 알아보기 위해 그림 2 와 같이 RBS 분석을 실행해 보았다 [11]. 제조된 W-C-N 박막의 W 의 양은 cycle 이 증가함에 따라 일정한 양으로 증가하였으며, cycle 당 약 0.2 nm 의 두께로 성장하였고, ALD 방법의 장점인 정확한 두께의 control 을 가능하게 하는 것으로 성장된 박막의 W coverage 는 $9.59 \times 10^{14} \text{ atoms/cm}^2/\text{cycles}$ 이었다. 이것은 W-C-N 박막이 이론적인 monolayer 로서 계산된 W 값이 $8.85 \sim 9.33 \times 10^{14} \text{ atoms/cm}^2/\text{cycles}$ 사이의 범위 안에 있기 때문에 이론적인 1ML/cycle 보다 조금 높은 증착율을 가짐을 의미한다. 그리고 초기 cycles

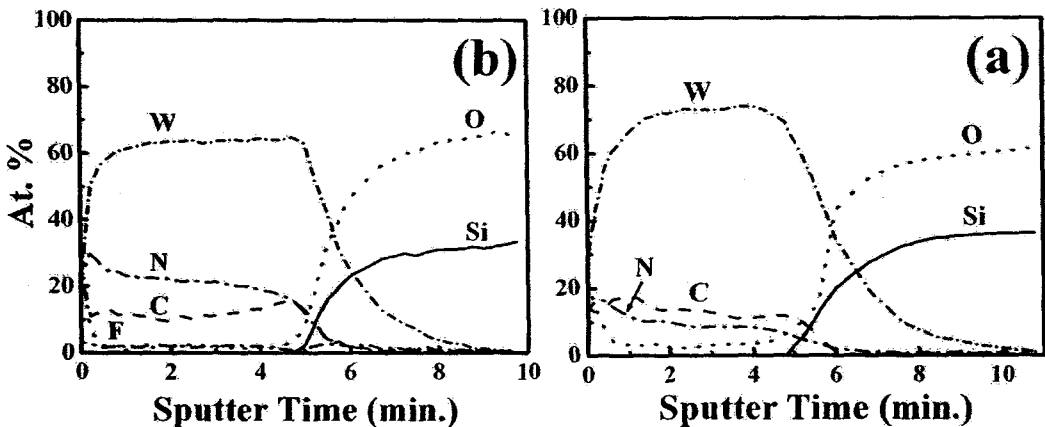


그림 3. AES depth profiles of system using (a) H₂ and N₂ (b) NH₃ for 50cycles at 350 °C

부터 거의 일정한 양의 W atoms 가 증착 될 수 있었던 것은 H₂/N₂ 초기 표면 처리에 의한 것으로 이전에 발표한 W-N 제조 시에 실시한 NH₃ 초기 표면 처리의 경우 약 50cycles 의 실행 후부터 일정한 양의 W atoms 가 증착되는 것에 비해 더욱 활성적인 반응을 할 수 있었음을 알 수 있다. 게다가 CH₄ 플라즈마에 의해 WF₆의 환원 반응이 증강되어 N 과 C 의 atoms 양보다 더 많은 양의 W atoms 가 W-C-N 박막 안에 함유 될 수 있었던 것으로 사료된다.

4. 결론

PPALD 장비를 이용하여 삼원계 W-C-N 박막을 증착하였다. AES 분석 결과 NH₃ 가스 대신에 N₂ 가스를 사용함으로써 더 적은 양의 N atoms 와 더 많은 양의 C atoms 가 함유되었고, W atoms 의 함유량도 증가하여 이전에 발표한 W-N 박막에 비해 비저항이 300 μΩ·cm로 매우 낮아졌으며, 열적 안정성도 향상되었다. 또한, NH₃ 플라즈마 초기 표면 처리 대신에 H₂/N₂ 플라즈마 초기

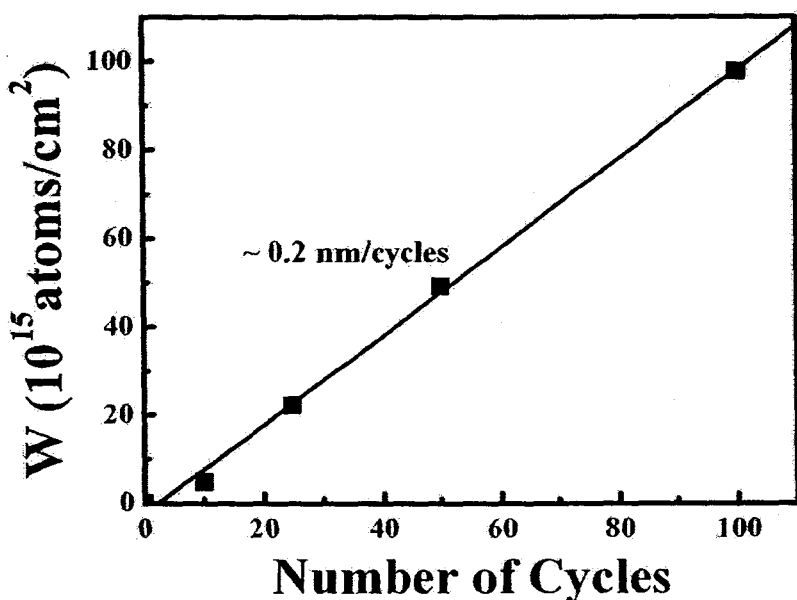


그림 4. W coverage as a function of cycle for PPALD W-C-N at 350 °C

한국반도체및디스플레이장비학회 2005년도 추계학술대회용 논문집

표면처리는 incubation cycles 를 없애고 초기부터 일정한 두께의 박막성장을 가능하게 하였다. 증착되는 박막은 0.2nm/cycle 의 일정한 증착율을 가지고 있어 정확한 두께의 control 을 가능하게 하였다.

후기(돋움체 11pt, 진하게)

필요하실 경우 여기에 후기를 입력하세요(바탕체 10pt, 양쪽혼합 정렬).

참고문헌

- [1] J. S. Becker, S. Suh, S. Wang and R. G. Gordon, Chem. Mater., 15, pp. 2969, 2003.
- [2] K.-E. Elers, V. Saanila, P. J. Soininen, W.-M. Li, J. T. Kostamo, S. Haukka, J. Juhanoja and W. F. A Besling, Chem. Vap. Dep., 4(8), pp. 149, 2002.
- [3] J. Uhm and H. jeon, Jpn. J. Appl. Phys, 40, pp. 4657, 2001.
- [4] M. Ritala, P. Kalsi, D. Riihela, K. Kukli, M. leskela and J. Jokinen, Chem. Mater., 11, pp. 1712, 1999.
- [5] H. Kim, C. Lavoie, M. Copel, V. Narayanan, D.-G. Park and S. M. Rossnagel, J. Appl. Phys., 95(10) pp. 5848, 2004.
- [6] S. Bystrova, A. A. I. Aarnink, J. Holleman and R. A. M. Wolters, J. Electrochem. Soc., 152(7), pp G522, 2005.
- [7] D. H. Kim, Y. J. Kim, Y. S. song, B.-T. Lee, J. H. Kim, S. Shy and R. Gordon, J. Elcetrochem. Soc. 150(10), pp. C740, 2003.
- [8] K.-E. Elers, V. Saanila, W.-M. Li, P. J. Soininen, J. T. Kostamo, S. Haukka, J. Juhanoja and W. F. A Besling, Thin Solid Films, 434, pp. 94, 2003.
- [9] S. Smith, W.-M. Li, K.-E. Elers and K. Pfeifer, Microelect. Eng., 64, pp. 247, 2002.
- [10] H. S. Sim, J. H. Park and Y. T. Kim, Phys, Stat. Sol. (a), 201(13), pp. R92, 2004.
- [11] R. L. Puurunen, Chem. Vap. Dep., 9(5), pp. 249, 2003.